



CaO–SiO₂–Fe₂O₃系スラグにおけるP₂O₅の ダイカルシウムシリケートと液相スラグ間の固液分配

島内 謙一^{*1}・北村 信也^{*2}・柴田 浩幸^{*2}

Distribution of P_2O_5 between Solid Dicalcium Silicate and Liquid Phases in $CaO-SiO_2-Fe_2O_3$ System

Ken-ichi SHIMAUCHI, Shin-ya KITAMURA and Hiroyuki SHIBATA

Synopsis : In most cases, the slag used in hot metal deposphorization exists in a solid–liquid coexisting state, containing dicalcium silicate as the solid phase. It is known that dicalcium silicate (C_2S) and tricalcium phosphate (C_3P) form a solid solution with a wide range of composition. A large distribution ratio of P_2O_5 between a solid solution and liquid slag phases has also been reported. To clarify the maximum concentration of P_2O_5 in this solid solution phase, the measurement of the distribution ratio of P_2O_5 in slag containing a high concentration of P_2O_5 is performed in this research, and the influence of MgO and MnO on the distribution ratio is investigated. $CaO-SiO_2-Fe_2O_3$ slag containing a maximum of 18% P_2O_5 is melted at 1873K and cooled to 1673K at a cooling rate of 10K/min. During cooling, the solid solution of dicalcium silicate and tricalcium phosphate precipitates from the liquid slag. A good relation is found between the distribution ratio of P_2O_5 and (T.Fe); this relation is independent of slag composition and P_2O_5 content. The concentration of P_2O_5 in the solid solution is strongly influenced by the mixing ratio of P_2O_5 and the slag composition. It is clarified that if the slag composition is controlled adequately, the concentration of P_2O_5 in the C_2S-C_3P solid solution can be increased up to 100% of C_3P . The change in the distribution ratio with the addition of MgO and MnO is not large.

Key words: hot metal treatment; slag; deposphorization; solid solution; precipitation

1. 緒言

溶銑脱燐プロセスは我が国で独自に発達した技術であり、コスト改善だけでなくスラグ発生量の低減や高純度鋼の溶製に寄与するため現在でも多くの操業改善がなされている。溶銑脱燐は、かつては脱珪溶銑に対するフラックスインジェクションが主流であり、塩基度が極めて高いスラグを発生させていたが、環境問題から萤石の使用が制限されたため、低塩基度でT.Feを高めたスラグによる処理が増えてきている。溶銑脱燐スラグは $\text{CaO}\cdot\text{SiO}_2\cdot\text{FeO}\cdot\text{P}_2\text{O}_5$ 系が基本であるが、上記の結果、多くの作業所では $2\text{CaO}\cdot\text{SiO}_2$ (C_2S と略す)飽和域で操業が行われている。この C_2S と脱燐生成物である $3\text{CaO}\cdot\text{P}_2\text{O}_5$ (C_3P と略す)は広い組成範囲で固溶体を形成することが知られており¹⁾、さらに、溶融スラグと C_2S 中の平衡燐分配を測定した例によれば高い分配比で $\text{C}_2\text{S}-\text{C}_3\text{P}$ 固溶体に P_2O_5 が濃縮されると報告されている^{2,3)}。これを受けて、脱燐反応効率を向上させてスラグ発生量を低減させるには、スラグ中の P_2O_5 を $\text{C}_2\text{S}-\text{C}_3\text{P}$ 固溶体に移動させ、液相スラグ中の濃度を低く保つ事の重要性が指摘されている⁴⁾。

一方、スラグに含まれる P_2O_5 を磷資源として利用しよう

うとする試みが報告されている⁵⁾。燐は作物育成に不可欠の元素であるが、高品位の燐鉱石は世界的に枯渇傾向にある上に偏在しているため、これに置き換わる燐源として製鋼スラグを利用しようとするものである。この場合にも、 C_2S-C_3P 固溶体に P_2O_5 が濃縮される現象を利用し、例えば、微粉砕後に磁気分離をすることで固溶体を回収する試みが報告されている。

いずれの目的においても、 C_2S-C_3P 固溶体と液相スラグとの間の P_2O_5 の固液分配が重要となるが、伊藤ら²⁾は P_2O_5 を3%，8%添加した $CaO-SiO_2-FeO-P_2O_5$ 系と $CaO-SiO_2-Fe_2O_3-P_2O_5$ 系スラグについての固液分配比を測定した。その結果、(1)式で表した分配比(L_P)の対数は液相中のT.Feと比例関係にある事を見出し、また、その関係は、 FeO と Fe_2O_3 による差はなかったとしている。

ここで、下添の S は $\text{C}_2\text{S}-\text{C}_2\text{P}$ 固溶体を、 L は液相を示す。

Inoue ら³⁾も、1873KでCaO-SiO₂-Fe_xO-P₂O₅系スラグを予備溶融後1673Kまで150K/minで冷却し、任意時間保持した後水冷する方法等、様々な方法でC_xS-C_xP固溶体と液

平成20年6月3日受付 平成20年8月5日受理(Received on June 3, 2008; Accepted on Aug. 9, 2008)

* 東北大学院工学研究科（現：住友電気工業（株））Graduate Student, Tohoku University, now Sumitomo Electric Industries, Ltd., 4-5-33 Kitahama Chuo-ku
Osaka 541-0041

*2 東北大大学多元物質科学研究所 (Institute of Multidisciplinary Research for Advanced Materials, Tohoku University)

相スラグとの間の P_2O_5 の固液分配を測定している。Inoue らは L_p をスラグ液相中の $(\%SiO_2) + (\%P_2O_5)$ で整理しているが、伊藤らが得た固液分配比と非常に近い値を得ており、さらに、いずれの方法においても、わずか 10 s 程度で平衡値に達するとしている。

しかしながらこれらの実験条件では (C_2S-C_3P) 固溶体中の P_2O_5 は 20% 程度までにすぎず、スラグ中の P_2O_5 を (C_2S-C_3P) 固溶体へ最大限濃縮するためには、より P_2O_5 濃度が高いスラグでの分配比を測定する必要があり、さらに、スラグに含まれる MgO , MnO の分配比に与える影響も評価する必要がある。そこで、本研究では、 P_2O_5 を最大で 18% まで含有させたスラグでの固液分配比を測定し (C_2S-C_3P) 固溶体へ濃縮できる P_2O_5 の限界を調査するとともに、固液分配比に対する MgO , MnO の影響を明らかにした。

2. 実験方法

スラグを合成するためには、 SiO_2 , Fe_2O_3 , $CaCO_3$, $3[3CaO \cdot P_2O_5] \cdot Ca(OH)_2$ の試薬を用いた。まず $CaCO_3$ を Al_2O_3 または MgO のつぼ内、大気下にて 1273 K, 60 min 以上加熱して脱炭酸を行い CaO を得た。次に、試薬を所定の配合組成で秤量した。配合組成を Table 1 に示すが、 $CaO-SiO_2-Fe_2O_3$ の三元系、及び、それに MgO , MnO を 10 mass% 添加した組成をベースとし、それらに P_2O_5 を 6%, 12%, 18% になるよう加えた。 $CaO-SiO_2-Fe_2O_3$ の三元系に換算した組成に応じて、Fig. 1 に示すように A, B, C と名付けた。尚、Fig. 1 における曲線は 1673 K における各固相の飽和領域を示す。具体的な、 CaO , SiO_2 , Fe_2O_3 の配合比は、1673 K では C_2S 飽和領域内にあり、1873 K で完全液相になる組成になるように試行錯誤で定めた。尚、1873 K から急冷した試料を EPMA で定量分析した結果は、ほぼ配合組成と一致していた。

秤量した試料は $\phi 5 mm \times 5 mm$ の白金製容器に詰め、これを底に白金のつぼとの接着を防ぐために Al_2O_3 粉末を敷いた Al_2O_3 のつぼに入れ電気抵抗炉に装入した。試料は 1873 K まで 10 K/min で昇温し 60~120 min 保持した後 1673 K まで 10 K/min で冷却し、その温度で 0 から 60 min 保持し、その後、炉を開放し坩埚ごと取り出しディフュージョンポンプ用オイルで急冷した。熱履歴を Fig. 2 に示す。

急冷された試料を樹脂に埋め込み試料垂直方向に切断した後、切断面を研磨し、試料内部の各相の組成を EPMA で定量分析した。尚、本実験では、 P_2O_5 の固液分配比と T.Fe の関係は、 FeO と Fe_2O_3 とで差がないという伊藤らの結果¹⁾ を参考に Fe_2O_3 を酸化鉄として用い、実験雰囲気は大気下とした。

EPMA での観察結果から C_2S-C_3P 固溶体とスラグ液相間の燃分配比 L_p とスラグ液相の平均組成の算出方法は以下のようとした。

Table 1. Slag composition (mass%).

	Composition based on the mixing ratio (mass%)					
	SiO_2	CaO	Fe_2O_3	MgO	MnO	P_2O_5
A-1	11.3	30.7	52.6			5.9
A-2	10.6	28.7	49.8			11.9
A-3	10.0	26.7	47.0			17.9
B-1	21.5	44.0	29.0			5.6
B-2	19.0	39.9	29.1			12.0
B-3	17.7	37.1	27.1			18.0
C-1	31.7	50.1	12.9			5.9
C-2	25.7	49.2	13.1			12.0
C-3	23.9	45.8	12.2			18.0
A-1(10MgO)	9.9	27.6	46.5	10.0		6.0
B-1(10MgO)	20.9	37.4	25.8	10.0		6.0
B-3(10MgO)	15.1	33.0	23.8	10.0		18.0
C-1(10MgO)	28.9	43.8	11.3	10.0		6.0
C-3(10MgO)	19.2	42.0	10.7	10.0		18.0
A-1(10MnO)	9.9	27.4	46.8		9.9	5.9
B-1(10MnO)	22.6	35.6	25.8		10.0	6.0
B-3(10MnO)	17.2	31.1	23.5		9.7	18.5
C-1(10MnO)	28.7	44.2	11.2		10.0	6.0
C-3(10MnO)	20.5	40.7	10.7		10.0	18.0

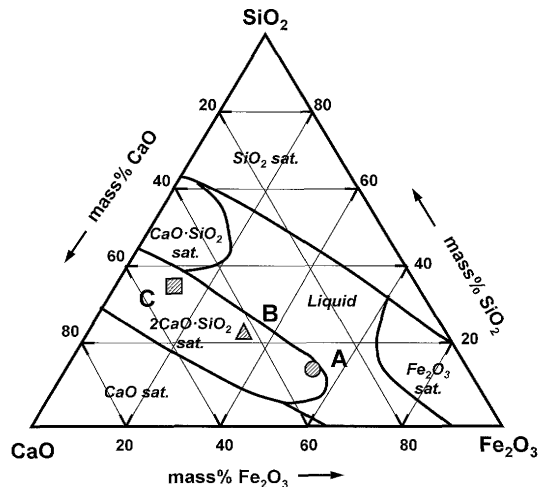


Fig. 1. Investigated slag composition in $CaO-SiO_2-Fe_2O_3$ ternary phase diagram.

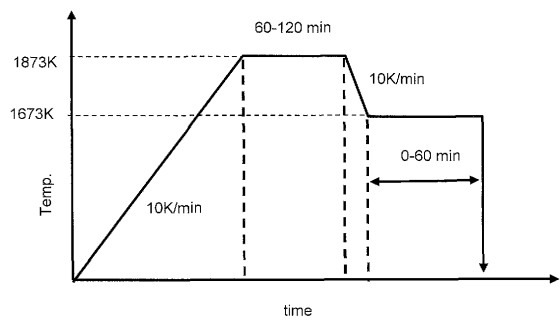


Fig. 2. Experimental condition to precipitate C_2S-C_3P solid solution.

C_2S-C_3P 固溶体は $10 \mu m$ 以上の直径を有するので EPMA で分析する事が可能である。また、急冷により液相域がガラス化した場合には液相組成も EPMA で分析する事が可能である。このようにして L_p を求める方法を Method-a とする。

試料によっては急冷しても液相領域がいくつかの相に分

Table 2. Composition of liquid and solid phases in slag (mass%).

Sample name	Phase	Composition (mass%)						Areal fraction	L _P	method
		SiO ₂	CaO	Fe ₂ O ₃	MgO	MnO	P ₂ O ₅			
A-1	C ₂ S-C ₃ P	11.0	57.3	0.9			30.8	0.27	16.2	b
	liquid phase	8.8	26.8	62.1			1.9	0.73		
A-2	C ₂ S-C ₃ P	4.4	54.2	1.3			40.2	0.26	21.8	b
	liquid phase	14.2	20.2	63.7			1.8	0.74		
A-3	C ₂ S-C ₃ P	0.4	52.4	1.8			45.4	0.36		
	Hematite	0.0	0.3	99.6			0.0	0.18		
	liquid phase	22.4	28.7	36.1			12.8	0.46	3.6	b
B-1	C ₂ S-C ₃ P	24.8	60.2	1.5			13.6	—		
	liquid phase	20.5	38.2	38.2			3.2	—	4.3	a
B-2	C ₂ S-C ₃ P	10.4	56.2	1.3			32.1	0.36	5.5	b
	liquid phase	21.9	34.4	38.1			5.5	0.64		
B-3	C ₂ S-C ₃ P	3.8	53.6	1.3			41.3	0.32		
	liquid phase	25.6	33.6	31.8			9.0	0.68	4.6	b
C-1	C ₂ S-C ₃ P	26.9	60.9	1.6			10.6	0.18		
	liquid phase	34.0	46.6	14.5			4.8	0.82	2.2	a
C-2	C ₂ S-C ₃ P	18.7	59.3	1.3			20.6	—		
	liquid phase	29.7	44.1	18.7			7.5	—	2.7	a
C-3	C ₂ S-C ₃ P	8.1	53.1	1.0			37.8	0.32		
	liquid phase	29.8	41.1	15.9			13.2	0.68	2.9	b
A-1(10MgO)	C ₂ S-C ₃ P	22.5	58.3	1.6	1.2		16.4	0.22		
	magnesio wüstite	0.2	2.5	78.2	18.8		0.2	0.13		
	liquid phase	7.6	22.3	55.2	11.2		3.7	0.65	4.5	c
B-1(10MgO)	C ₂ S-C ₃ P	24.6	56.0	0.8	4.1		14.6	0.07		
	liquid phase	19.1	30.5	34.9	11.7		3.7	0.93	3.9	b
B-3(10MgO)	C ₂ S-C ₃ P	9.7	51.7	0.6	3.7		34.3	0.30		
	liquid phase	15.2	29.4	28.8	12.0		14.6	0.70	2.3	b
C-1(10MgO)	C ₂ S-C ₃ P	28.0	56.3	0.8	5.0		10.0	0.27		
	liquid phase	28.5	38.7	16.5	11.2		5.0	0.73	2.0	c
C-3(10MgO)	C ₂ S-C ₃ P	14.5	53.1	0.6	4.4		27.5	0.43		
	liquid phase	21.4	31.8	22.1	14.2		10.6	0.57	2.6	b
A-1(10MnO)	C ₂ S-C ₃ P	10.9	53.8	1.0		1.3	33.0	0.13		
	liquid phase	10.8	25.8	49.0		10.8	3.7	0.87	9.0	a
B-1(10MnO)	C ₂ S-C ₃ P	21.6	55.9	1.1		3.4	17.9	0.28		
	liquid phase	20.5	32.6	32.1		11.5	3.4	0.73	5.2	b
B-3(10MnO)	C ₂ S-C ₃ P	3.6	52.4	1.1		3.4	39.5	—		
	liquid phase	17.3	30.8	26.9		9.5	15.5	—	2.5	a
C-1(10MnO)	C ₂ S-C ₃ P	26.3	56.7	1.3		5.0	10.7	0.33		
	liquid phase	31.5	39.9	15.3		9.7	3.6	0.67	2.9	a
C-3(10MnO)	C ₂ S-C ₃ P	10.1	53.5	0.7		4.0	31.6	0.36		
	liquid phase	27.3	34.0	16.6		13.0	9.0	0.64	3.5	a

離している場合がある。分離した相が比較的大きく、各相組成がEPMAで分析できる場合には、各相の組成と、画像解析ソフトにより求めた各相の面積比より、(2)式を用いてスラグ液相の組成を算出した。このようにしてL_Pを求める方法をMethod-bとする。

$$(\%P_2O_5)_L = \sum^x [(\%P_2O_5)_x \times A_x] \quad \dots \dots \dots (2)$$

ここで、A_xは液相領域にある各相の面積率で(%P₂O₅)_xは各相中の磷酸濃度である。

試料中各相のコントラストの違いが少なく、写真的色による相の分類ができない場合は、(3)式で示したP₂O₅のマスバランスが成り立つと仮定して、それを変形させた(4)式から液相の平均濃度を算出した。このようにしてL_Pを求める方法をMethod-cとする。

$$(\%P_2O_5)_T = (\%P_2O_5)_L \times A_L + [(\%P_2O_5)_S \times A_S] \quad \dots \dots \dots (3)$$

$$(\%P_2O_5)_L = \frac{(\%P_2O_5)_T - [(\%P_2O_5)_S \times A_S]}{A_L} \quad \dots \dots \dots (4)$$

ここで、下添のTはスラグ全体の濃度である。

3. 実験結果

各組成の試料を1873Kから急冷した場合と、同じ試料を1673Kまで冷却し60min保持後に急冷した場合を比較すると、すべて1873Kでは均質なガラス相単相であるのが1673Kまで冷却する事で微細な固相が晶出している事を確認した。晶出した固相と液相の組成をTable 2に示すが、固相はほとんどの場合、C₂S-C₃P固溶体のみである事がわかる。ここでTable 2には液相組成の求め方と各相の面積率を示す。尚、Method-aの場合はEPMAの分析結果でL_Pを求められるため各相の面積率を測定しなかった場合もある。

Fig. 3は、A-1 (6% P₂O₅)において、1673Kでの保持時間の影響を示したものであるが、固相と液相の組成は保持時間によってほとんど変化しない事がわかる。これは、1873Kから1673Kへの冷却過程での固溶体の晶出挙動には、ほぼ平衡関係が成り立ち、C₂SよりもC₂S-C₃P固溶体として晶出する方が安定である事を意味すると考えられる。

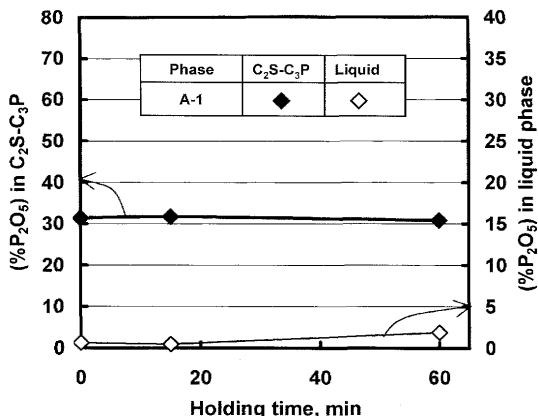


Fig. 3. The change in concentration of P_2O_5 in solid solution and liquid phases with the holding time.

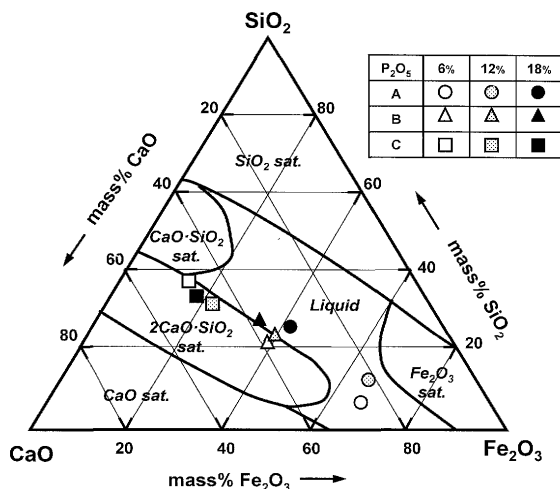


Fig. 4. Composition of liquid slag phase for each slag with various P_2O_5 content in $CaO-SiO_2-P_2O_5$ ternary phase diagram.

$CaO-SiO_2-Fe_2O_3$ の 3 元系に P_2O_5 を添加した場合の結果を、液相については $CaO-SiO_2-Fe_2O_3$ 系で、固溶体については $CaO-SiO_2-P_2O_5$ 系で整理して Fig. 4, 5 に示す。Fig. 4 より、 P_2O_5 配合比が高い場合も含めて液相組成はほぼ $CaO-SiO_2-Fe_2O_3$ 3 元系における 1673K での C_2S 飽和液相組成に近く、 P_2O_5 の濃度によって液相線は大きくは変化しない事がわかる。また、Fig. 5 より固溶体組成は C_2S と C_3P を結ぶ直線上に位置することがわかる。Table 2 からもわかるように、 $CaO-SiO_2-Fe_2O_3-P_2O_5$ の 4 元系では固溶体中には Fe_2O_3 は 1% 程度しか固溶せず、ほぼ純粋な C_2S-C_3P 固溶体となっている。

一方、固溶体中の P_2O_5 の濃度は、Fig. 6 に示すように、 P_2O_5 配合比が大きいほど増加するが、スラグ組成も A>B>C の順番に濃度を増加させている。また、スラグ A で 18% の P_2O_5 を配合した場合には晶出する固相は、図中に点線で示した純粋な C_3P に近い値となっており、スラグ組成を制御すれば C_2S-C_3P 固溶体中の C_3P を 100% にまで濃化できる事が明らかになった。Fig. 7 は(1)式で定義し

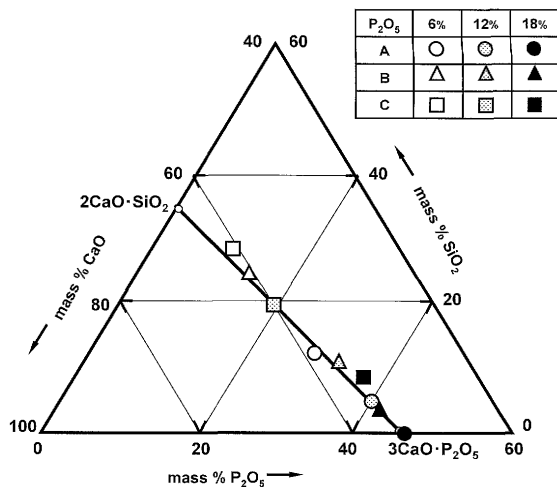


Fig. 5. Composition of solid solution phase for each slag with various P_2O_5 content in $CaO-SiO_2-Fe_2O_3$ ternary phase diagram.

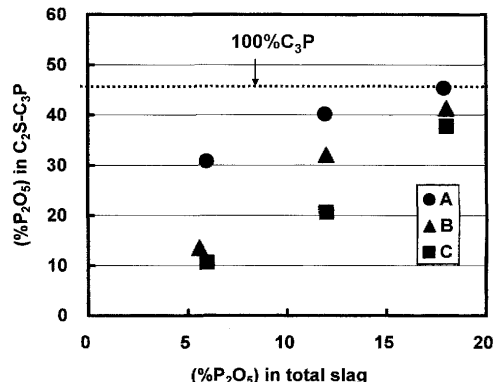


Fig. 6. Influence of slag composition on P_2O_5 content in solid solution.

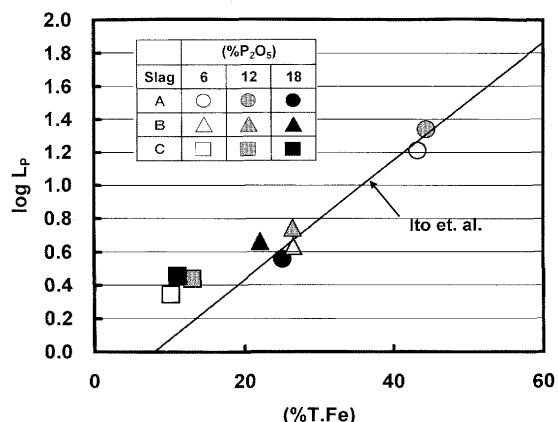


Fig. 7. Relationship of P_2O_5 distribution ratio between solid solution to liquid phase with (T.Fe) content.

た P_2O_5 の固液分配比を整理したものであるが、スラグ組成や P_2O_5 の濃度に依らず (T.Fe) と良い相関が見られ、伊藤らの結果¹⁾とも極めて近い値が得られた。Fig. 6 で見られたスラグ組成による差異は、(T.Fe) が A>B>C の順に増加し固液分配比が大きくなつたためと解釈できる。

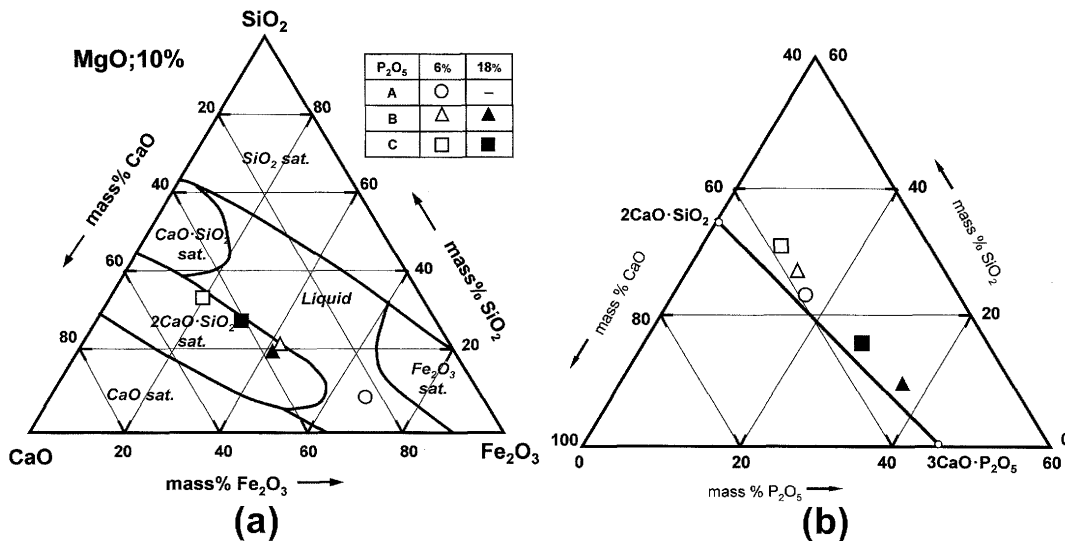


Fig. 8. Composition of liquid phases in CaO-SiO₂-Fe₂O₃ ternary phase diagram (a) and solid solution phases in CaO-SiO₂-P₂O₅ ternary phase diagram (b) of the MgO added slag.

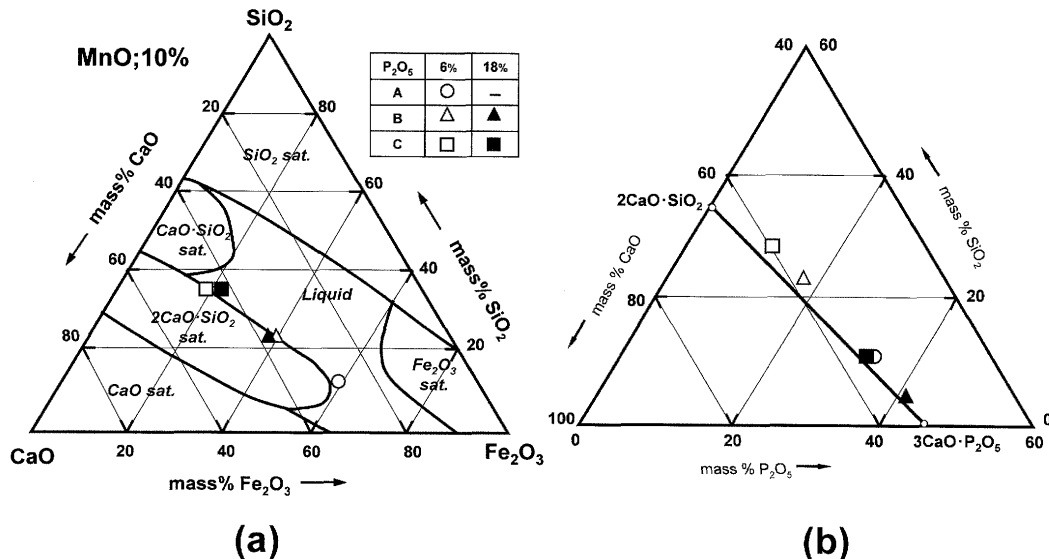


Fig. 9. Composition of liquid phases in CaO-SiO₂-Fe₂O₃ ternary phase diagram (a) and solid solution phases in CaO-SiO₂-P₂O₅ ternary phase diagram (b) of the MnO added slag.

次に、上記スラグに10 mass%のMgO, MnOをそれぞれ添加した場合について示す。

MgOを添加した場合の、液相、及び、固溶体の組成をFig. 8に、MnOを添加した場合の、液相、及び、固溶体の組成をFig. 9に示す。MgO, MnO添加時の液相組成はCaO-SiO₂-Fe₂O₃ 3元系におけるC₂S飽和液相とほぼ同じであり、Fig. 4と比較しても添加の有無により差は見られない。一方、Table 2からもわかるように固溶体中にはMgO, MnOは数パーセント含有されている。その結果、CaO-SiO₂-P₂O₅の3元系に換算した固溶体組成は、MgOやMnOを添加した場合にはC₂SとC₃Pを結ぶ線上からのズレが見られる。

Fig. 10に固溶体中のP₂O₅の濃度に対する影響を示すが、MgO, MnOの添加はやや低下させている。Fig. 11に固液分配比に対する影響を示すが、MgO, MnOの添加は明確な影

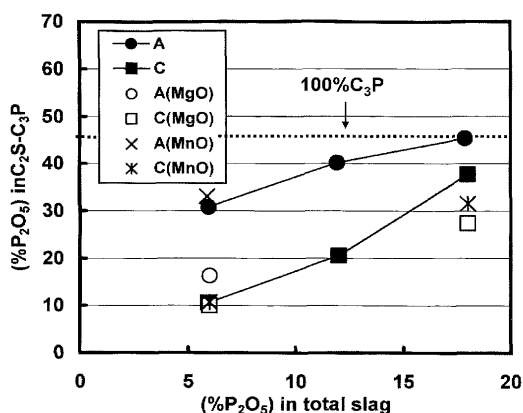


Fig. 10. Influence of the MgO and MnO addition on the P₂O₅ content in solid solution.

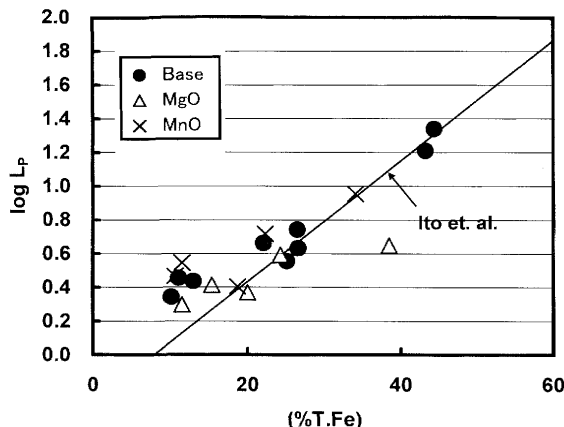


Fig. 11. Influence of the MgO and MnO addition on the P_2O_5 distribution ratio between liquid and solid solution phases.

響は見られなかった。

4. 考察

液相スラグと晶出した($\text{C}_2\text{S}-\text{C}_3\text{P}$)固溶体が平衡関係にあるとすれば、両相中での P_2O_5 の活量は等しい。従って、測定された固液分配係数は(5)式のように、両相中での P_2O_5 の活量係数の比に比例する。ここで a は活量、 γ は活量係数、 k は質量パーセントとモル分率の換算係数であり、下添えの $\text{P}_2\text{O}_5(\text{Liq})$, $\text{P}_2\text{O}_5(\text{SS})$ はそれぞれ、液相中、固溶体中における P_2O_5 の活量、活量係数である事を示す。

$$L_P = \frac{(\% \text{P}_2\text{O}_5)_S}{(\% \text{P}_2\text{O}_5)_L} = k \frac{a_{\text{P}_2\text{O}_5(\text{SS})} \times \gamma_{\text{P}_2\text{O}_5(\text{Liq})}}{a_{\text{P}_2\text{O}_5(\text{Liq})} \times \gamma_{\text{P}_2\text{O}_5(\text{SS})}} = k \frac{\gamma_{\text{P}_2\text{O}_5(\text{Liq})}}{\gamma_{\text{P}_2\text{O}_5(\text{SS})}} \quad \dots \dots \dots (5)$$

まず、液相スラグ中の P_2O_5 の活量をスラグ中の鉄はすべて3価である(酸化鉄をすべて Fe_2O_3 とみなす)と仮定し萬谷らによって報告されている正則溶液モデル⁶⁾で試算した。(6)式は $\text{CaO}-\text{SiO}_2-\text{Fe}_2\text{O}_3-\text{P}_2\text{O}_5-\text{MgO}$ 系スラグ中の $\text{PO}_{2.5}$ の活量係数の計算式、(7)式は $\text{CaO}-\text{SiO}_2-\text{Fe}_2\text{O}_3-\text{P}_2\text{O}_5-\text{MnO}$ 系スラグ中の $\text{PO}_{2.5}$ の活量係数の計算式であり、 X はモル分率を示す。また(8)式は、 $\text{PO}_{2.5}$ と P_2O_5 の活量変換式を示す。尚、下添の(R.S), (L)は活量基準を示し、それぞれ、正則溶液モデルが成り立つとした仮定した純 $\text{PO}_{2.5}$ 液体基準、純 P_2O_5 液体基準を表す。

$$\begin{aligned} RT \ln \gamma_{\text{PO}_{2.5}(\text{R.S.})} = & +14640X_{\text{FeO}_{1.5}}^2 - 251040X_{\text{CaO}}^2 - 37660X_{\text{MgO}}^2 \\ & + 83680X_{\text{SiO}_2}^2 - 140590X_{\text{FeO}_{1.5}} \cdot X_{\text{CaO}} - 20090X_{\text{FeO}_{1.5}} \cdot X_{\text{MgO}} \\ & + 65680X_{\text{FeO}_{1.5}} \cdot X_{\text{SiO}_2} - 188280X_{\text{CaO}} \cdot X_{\text{MgO}} - 33470X_{\text{CaO}} \cdot X_{\text{SiO}_2} \\ & + 112960X_{\text{MgO}} \cdot X_{\text{SiO}_2} \quad (\text{J}) \end{aligned} \quad \dots \dots \dots (6)$$

$$\begin{aligned} RT \ln \gamma_{\text{PO}_{2.5}(\text{R.S.})} = & +14640X_{\text{FeO}_{1.5}}^2 - 251040X_{\text{CaO}}^2 - 84940X_{\text{MnO}}^2 \\ & + 83680X_{\text{SiO}_2}^2 - 140590X_{\text{FeO}_{1.5}} \cdot X_{\text{CaO}} - 13820X_{\text{FeO}_{1.5}} \cdot X_{\text{MnO}} \\ & + 65680X_{\text{FeO}_{1.5}} \cdot X_{\text{SiO}_2} - 243930X_{\text{CaO}} \cdot X_{\text{MnO}} - 33470X_{\text{CaO}} \cdot X_{\text{SiO}_2} \\ & + 74050X_{\text{MgO}} \cdot X_{\text{SiO}_2} \quad (\text{J}) \end{aligned} \quad \dots \dots \dots (7)$$

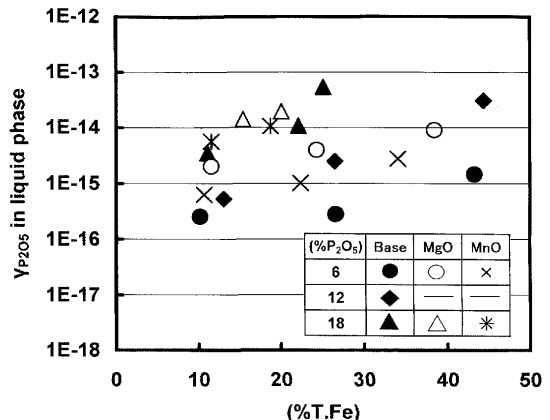


Fig. 12. Relation between (T.Fe) content with the activity coefficient of P_2O_5 in liquid slag phase, calculated by the regular solution model.

$$RT \ln a_{\text{P}_2\text{O}_5(\text{L})} = 2RT \ln a_{\text{PO}_{2.5}(\text{R.S.})} + 52720 - 230.706T \quad (\text{J/mol}) \quad \dots \dots \dots (8)$$

上記の正則溶液モデルから求めた液相スラグ中の P_2O_5 の活量係数と(T.Fe)との関係をFig.12に示すが、 P_2O_5 の配合量が同じであれば(T.Fe)の増加により塩基性成分である CaO の濃度が希釈されるため活量係数が大きくなる傾向が見られる。また、 P_2O_5 の配合量が多いほど活量係数が大きくなるが、これも CaO の濃度が希釈されるためであろう。さらに、 P_2O_5 の活量係数はMgO添加により増加する傾向が見られ、MnO添加でもやや増加する傾向にある。伊藤らは P_2O_5 の固液分配比が(T.Fe)と相関を持つ理由として、固溶体中の P_2O_5 の活量係数が一定であれば、(T.Fe)が高いほど液相中 P_2O_5 の活量係数が増加するためであると推定している¹⁾。Fig.12を見ると、上記のように P_2O_5 の配合量やMgOやMnO添加による影響も大きく、液相中 P_2O_5 の活量係数は(T.Fe)のみと相関を持つ訳では無い。この結果とFig.11の結果を比較すると固溶体中の P_2O_5 の活量が一定では無いと考えられる。

前記のように液相スラグと晶出した($\text{C}_2\text{S}-\text{C}_3\text{P}$)固溶体が平衡関係にあるため両相中での P_2O_5 の活量は等しいとするとき、正則溶液モデルで得られた純粋な液体 P_2O_5 基準の液相中の P_2O_5 の活量を用い(9)式から純粋な液体 P_2O_5 基準の($\text{C}_2\text{S}-\text{C}_3\text{P}$)固溶体中の P_2O_5 の活量が求められる。

$$a_{\text{P}_2\text{O}_5(\text{SS})} = a_{\text{P}_2\text{O}_5(\text{Liq})} \quad \dots \dots \dots (9)$$

このようにして得られた、($\text{C}_2\text{S}-\text{C}_3\text{P}$)固溶体中の P_2O_5 の活量係数をFig.13に示すが、固溶体中の P_2O_5 の濃度に依存し、固溶体中の P_2O_5 が増加するにつれて活量係数も大きくなる傾向が認められる。つまり、 P_2O_5 の配合量を増加すると液相中の P_2O_5 の活量係数が増加するとともに、固溶体中の P_2O_5 の濃度も上がるため活量係数も増加し、結果的に固液分配比はFig. 7のように(T.Fe)で単純に整理できたと解釈できる。さらに、 P_2O_5 の活量係数はMgO添加で

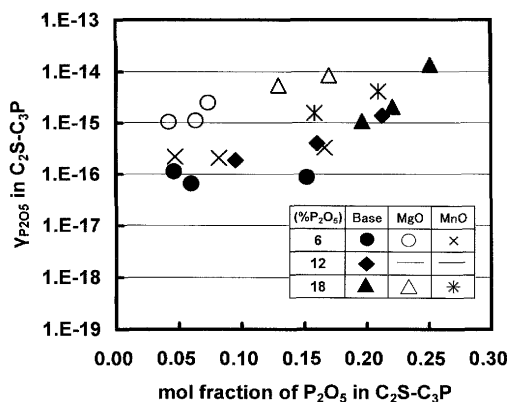


Fig. 13. Influence of P₂O₅ content on the activity coefficient of P₂O₅ in solid solution.

増加し、MnO添加でやや増加する傾向が認められる。MnO, MgOを添加したスラグ中の(C₂S-C₃P)固溶体にはMnO, MgOが固溶しているため、これらの成分が活量係数に影響を及ぼす可能性は充分にあり、固溶体中のP₂O₅の活量係数を上げる効果はMgOの方がMnOよりも大きいと考えられる。これより、MgO, MnOとも固溶体中のP₂O₅の活量係数も液相中のP₂O₅の活量係数も増加させ、その影響度はいずれに対してもMgOの方が大きく、結果としてFig.11で示したようにMgOやMnOはP₂O₅の固液分配比に大きな変化を与えたかったと解釈できる。

5. 結言

最大で18%のP₂O₅を含むCaO-SiO₂-Fe₂O₃-P₂O₅系スラグと、それに10%MgOまたは10%MnOを加えたスラグに対して、1873Kから1673Kに冷却する際に晶出する(C₂S-C₃P)固溶体と液相スラグ間のP₂O₅の固液分配比を調査した。その結果、以下の事項が明らかになった。

(1) 固相と液相の組成は保持時間によってほとんど変化せず、冷却過程での固溶体の晶出挙動はほぼ平衡関係が成立立つ。

(2) CaO-SiO₂-Fe₂O₃-P₂O₅系スラグにおけるP₂O₅の固液分配比は、スラグ組成やP₂O₅の濃度に依らず(T.Fe)と良い相関があり、また、固溶体中のP₂O₅の濃度はP₂O₅配合比やスラグ組成の影響を受け、スラグ組成を制御すればC₂S-C₃P固溶体中のC₃Pを100%にまで濃化できる。

(3) P₂O₅の固液分配比のMgO, MnO添加による変化は小さい。

本研究の一部は(社)日本鉄鋼協会の鉄鋼研究振興助成、及び、(財)鉄鋼業環境保全技術開発基金からの資金援助によって行われました。ここに深く感謝いたします。

文 献

- 1) W.Fix, H.Heymann and R.Heinke: *J. Am. Ceram. Soc.*, **52** (1969), 346.
- 2) K.Ito, M.Yanagisawa and N.Sano: *Tetsu-to-Hagané*, **68** (1982), 342.
- 3) R.Inoue and H.Suito: *ISIJ Int.*, **46** (2006), 174.
- 4) S.Kitamura, H.Shibata and N.Maruoka: *Steel Res.*, **79** (2008), 586.
- 5) K.Yokoyama, H.Kubo, K.Mori, H.Okada, S.Takeuchi and T.Nagasaki: *Tetsu-to-Hagané*, **92** (2006), 683.
- 6) S.Ban-ya: *ISIJ Int.*, **33** (1993), 2.